Substituição axial de complexos tetrazamacrocíclicos de Cobalto(II). Síntese e caracterização espectroscópica.

Fabiana Hitomi Ono Ishiruji (PG)¹ e Fábio Souza Nunes (PQ)¹. (fsnunes@quimica.ufpr.br)

¹Departamento de Química, Universidade Federal do Paraná, Centro Politécnico,C.P.19081, 81531-990, Curitiba-PR Palavras Chave: Cobalto(II), tetraazamacrocíclico e ligantes ambidentados.

Introdução

O estudo do íon Creutz-Taube (C-T)¹ despertou um compostos interesse em inorgânicos bimetálicos com interação intermetálica mediadas por ligantes em ponte devido a: sua participação em sistemas biológicos e como modelos de transferência eletrônica intramolecular a longa distância. Neste contexto, o ligante 5,5,7,12,12,14-hexametil-1,4,8,11tetraazaciclotetradecano (meso) Figura 1) mostrouse interessante, principalmente, pela

possibilidade de exploração das posições axiais por ligantes ambidentados permitindo a formação de compostos com mais de um centro metálico.



Resultados e Discussão

[Co(meso)(CN)₂]·3H₂O(1). A mistura das soluções do [Co(meso)(CH₃CN)₂](NO₃)₂.3H₂O(0,37g;0,64mmol) e do sal NaCN (0,12g;2,5mmol) resultou na precipitação de um sólido mostarda. Com rendimento 56%(0,16g). $[Co(meso)(NCS)(CH_3CN)](NO_3) \cdot CH_3CN(2).$ Uma solução do sal NaSCN (0,71g;8,2mmol) foi adicionada complexo uma solução do (0.51g:0.88mmol) gerando uma solução vermelha. que foi concentrada resultando na precipitação de um sólido rosa. Com um rendimento de 46%(0,22g).

Os resultados de microanálise dos produtos (1) e (2) apresentados na **Tabela** 1 e estão concordando de maneira satisfatória com formulações propostas.

Tabela 1. Resultados de microanálise.

	%H	%N
		<u> </u>
48,2(48,1)	9,0(9,4)	18,5(18,7)
45,5(46,2)	7,4(7,8)	18,6(18,0)
	45,5(46,2)	, , , , , , , , ,

Os números entre () são os valores calculados.

As condutividades dos compostos (1) e (2) em DMF apontaram, respectivamente, para um composto neutro com Λ=13,8μS/cm e eletrólito 1:1 com Λ=86,5μS/cm. Valores que confirmam as fórmulas moleculares propostas pelos resultados de análise Os espectros de absorção no infravermelho, em KBr, dos produtos (1) e (2) apresentaram bandas típicas macrocíclico meso

do contra-íon nitrato e do ligante NCS para o composto (2) e do ligante CN para o composto (1).

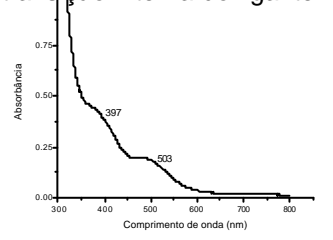
As medidas de susceptibilidade magnética dos produtos (1) e (2) resultaram em valores de μ_{eff} apresentados na Tabela 2.

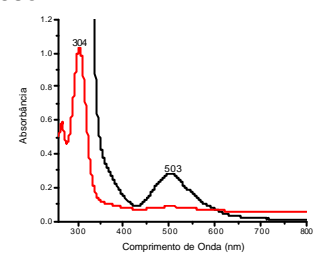
Tabela 2. Valores de u.«

Compost o	μ _{eff} (MB)	μ _{eff} (spin-only)
1	1,31	1,70-2,20
2	4,65	4,30-5,20

Devido à presença de ligantes de campo forte (CN⁻) nas posições axiais do composto (1) ocorreu o emparelhamento dos elétrons resultando em uma espécie com apenas um elétron desemparelhado concordando com um valor encontrado de μ_{eff} = 1,31MB. A presença de um ligante de campo intermediário no composto (2) não resultou no emparelhamento dos elétrons, portanto o valor de µeff 4.65 MB. coerente com 3 de desemparelhados.

O espectro eletrônico do compostos (1)(Fig.2a) em DMF apresentou uma banda em 397 nm e outra em 503 nm, que foram atribuídas à transições dd. No espectro de (2)(Fig.2b) em DMF observa-se uma banda em 502 nm referente a uma transição de campo ligante e outra em 304 nm, atribuída a uma transição interna do ligante meso.





(b)

(a) Figura 2 Conclusões

complexos macrocíclicos (1) e (2) foram caracterizados com sucesso e estão sendo utilizados em nosso laboratório como materiais de partida para a síntese de compostos polimetálicos.

Agradecimentos

Fundação Araucária, CAPES, CNPg e IQ-USP

¹ Creutz, C.; Taube, H.; J. Am. Chem. Soc. **1973**, 95, 1086.

² Warner, L.G.; Rose, N. J. e Bush, D.H, J. Am. Chem. Soc. 1968, 6938